

# 双环 Petersen 图互联网络及路由算法<sup>\*</sup>

王 雷<sup>+</sup>, 林亚平, 夏 巍

(湖南大学 软件学院,湖南 长沙 410082)

## Topology and Routing Algorithms of Double-Loops Connected Petersen Graph Networks

WANG Lei<sup>+</sup>, LIN Ya-Ping, XIA Wei

(College of Software, Hunan University, Changsha 410082, China)

+ Corresponding author: Phn: +86-731-8822333, E-mail: wanglei\_hn@hn165.com, <http://www.hnu.net.cn>

**Wang L, Lin YP, Xia W. Topology and routing algorithms of double-loops connected petersen graph network.**  
*Journal of Software*, 2006,17(5):1115–1123. <http://www.jos.org.cn/1000-9825/17/1115.htm>

**Abstract:** Petersen graph has good performance in parallel and distributed computation because of its characteristics such as short diameter and regularity. On the basis of topology of double-loops, a new double-loops connected Petersen graph network DLCPG( $k$ ) is constructed. In addition, unicasting, broadcasting and a kind of fault-tolerant routing algorithms are designed respectively. It is proved that DLCPG( $k$ ) not only has good extensibility, short diameter and simple topology, but also has the following good characteristics for the networks with  $10^k$  nodes: The diameter of DLCPG( $k$ ) is shorter than that of 2-dimensional Torus and RP( $k$ ) networks, and the grouping ability of DLCPG( $k$ ) overmatches that of 2-dimensional Torus and RP( $k$ ) networks at the same time. It is also proved that the communication efficiency of both the unicasting and broadcasting algorithms are better than the unicasting and broadcasting algorithms of RP( $k$ ) network conspicuously. Simulation results conclude that the new fault-tolerant routing algorithm is of good fault-tolerant ability.

**Key words:** fault-tolerant; routing algorithm; interconnection network; double loops; Petersen graph

**摘要:** Petersen 图由于具有短直径和正则性等特性,因此在并行与分布式计算中具有良好的性能.基于双环结构,构造了一个双环 Petersen 图互联网络 DLCPG( $k$ ).同时,分别设计了 DLCPG( $k$ )上的单播、广播和容错路由算法.证明了 DLCPG( $k$ )不但具有良好的可扩展性、短的网络直径和简单的拓扑结构等特性,而且对于  $10^k$  个节点组成的互联网络,DLCPG( $k$ )还具有比二维 Torus 以及 RP( $k$ )互联网络更小的直径和更优越的可分组性.另外,还证明了其上的单播、广播路由算法的通信效率与 RP( $k$ )上的单播和广播路由算法的通信效率相比均有明显的提高.仿真实验表明,新的容错路由算法也具有良好的容错性能.

**关键词:** 容错;路由算法;互联网络;双环;Petersen 图

中图法分类号: TP393 文献标识码: A

随着多处理机系统的规模扩大,为了提高并行计算机的通信效率,人们一直在研究高带宽、低延迟及具有良好可扩展性的互联网络.Petersen 图因其具有小直径、正则性等优良特性而引起人们的关注<sup>[1-9]</sup>.文献[2]以

\* Supported by the Natural Science Foundation of Hunan Province of China under Grant No.03JJY3098 (湖南省自然科学基金)

Received 2004-05-31; Accepted 2005-10-08

Petersen 图为基础构造了一种循环 Petersen 图网络 CPN(cyclic petersen network),其中  $k$  维 CPN 网络  $CPN_k$  是以 Petersen 图为原子,通过  $k$  维循环网络将各 Petersen 图中对应的节点连接而成.因此  $CPN_k$  网络具有  $10^k$  个节点,且其节点的连接度不大于 5,故与简单 Petersen 图互联网络相比,CPN 网络具有更好的可扩展性,但其缺点是扩展方法过于复杂.文献[3,4]给出了一种折叠 Petersen 图网络 FPN(folded petersen network),并对其性质进行了研究,其中  $k$  维的 FP 网络  $FP_k$  定义为  $k$  个 Petersen 图的卡特积.因此,FP <sub>$k$</sub>  网络是一种具有  $10^k$  个节点,节点连接度为  $3k$ ,网络直径为  $2k$  的对称正规图.另外,由于 FP <sub>$k$</sub>  网络是利用简单 Petersen 图迭代而成的,因此,其可扩性要优于简单的 Petersen 图互联网络.文献[5]将 Petersen 图嵌入 Hypercube 网络中,构造了一种超 Petersen 网络 HP(hyper petersen).HP 网络具有非常好的连接性、非常小的直径以及简单的拓扑结构,因此具有较高的通信效率,但由于其可扩性差而限制了其更进一步的应用.针对这一问题,文献[6-8]给出了 Petersen 图的一种基于环的扩展方法,并在该扩展方法的基础上提出了一种具有较好扩展性的互联网络 RP( $k$ )及其路由算法.文献[9]将 RP( $k$ )进一步扩展到多维环状 Petersen 互联网络 RP( $P, k_1, k_2, \dots, k_t$ ).

本文首先结合双环结构提出了 Petersen 图的一种新的扩展方法,并在该扩展方法的基础上给出了一种新型互联网络——双环 Petersen 图互联网络 DLCPG( $k$ )(double\_loops connected petersen graph)及其路由算法.本文证明了 DLCPG( $k$ )不但具有良好的可扩性、短的网络直径和简单的拓扑结构,而且特别地,对于由  $10 \times k$  个节点组成的互联网络,DLCPG( $k$ )还具有如下良好性质:(1) DLCPG( $k$ )的直径小于二维 Torus 与 RP( $k$ )(ringed petersen)互联网络的直径;(2) DLCPG( $k$ )的可分组性优于二维 Torus 与 RP( $k$ )互联网络的可分组性.

最后,本文还基于 DLCPG( $k$ )互联网络结构分别设计了单播、广播以及一种新的容错路由算法,证明了单播、广播路由算法的通信效率与 RP( $k$ )上对应算法的通信效率相比均有明显的提高.另外,仿真实验表明,新的容错路由算法具有良好的容错性能.因此,DLCPG( $k$ )是一种具有良好拓扑性质的新型互联网络拓扑结构.

## 1 双环 Petersen 图互联网络

### 1.1 预备知识

**定义 1(Petersen 图互联网络).** Petersen 图互联网  $G(V,E)$  是具有下述性质的一种网络拓扑结构:

- (1)  $G(V,E)$  是连通无向图;
- (2)  $V = \{u_0, u_1, \dots, u_4; v_0, v_1, \dots, v_4\}$ ;
- (3)  $E = \{u_i v_i | i=0, 1, \dots, 4\} \cup \{u_{i+1} u_i | i=0, 1, \dots, 4\} \cup \{v_i v_{i+k} | i=0, 1, \dots, 4, k=2, 3\}$ .

图 1 给出了基于 Petersen 图的互联网络的拓扑结构图例.由图 1 可知,Petersen 图包含 10 个节点,分别从 0~9 编号.显然,这种构造的 Petersen 图互联网络具有以下良好的性质:(1) 网络中任意节点的连接度均为 3,整个网

络的直径为 2.网络具有正则性、对称性、短直径、低连接度等优良特性.(2) 网络中任意两个节点之间有 3 条无交的路,若两个节点直接相连,则这 3 条路的长度分别为 1,4,4,否则为 2,3,3,因此,具有良好的容错性与并行性;(3) 另外,研究还表明,Petersen 图互联网络具有良好的可嵌入性,其缺点是网络不具备可扩展性.

**定义 2(节点组的距离).** 对于一个互联网络  $N$  中的一组节点  $\Gamma$ ,节点组  $\Gamma$  的距离定义为该组中任意两个节点距离的最大值.

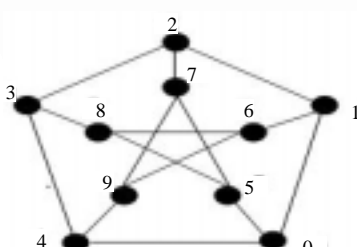
**定义 3(最优分组)<sup>[7-9]</sup>.** 对于给定的正整数  $\lambda$ ,在互联网络  $N$  中存在多个包含  $\lambda$  个节点的组,称距离最短的组为包含  $\lambda$  个节点的最优分组,记为  $G_\lambda(N)$ .

Fig.1 Topology of petersen graph

图 1 Petersen 图的拓扑结构

**定义 4(可分组性)<sup>[7-9]</sup>.** 对于给定的两个互联网络  $N_1, N_2$ ,若对于任意正整数  $\lambda$  有  $G_\lambda(N_1)$  的距离  $\leq G_\lambda(N_2)$  的距离,则称互联网络  $N_1$  的可分组性优于互联网络  $N_2$  的可分组性.

**定义 5(双环网络)<sup>[10,11]</sup>.** 网络  $G=(k,s)$ ,它的每个节点记为  $0, 1, 2, \dots, k-1$ ,并且从每个节点  $i$  发出两条边  $i \rightarrow i+1 \pmod k$  和  $i \rightarrow i+s \pmod k$ ,其中  $s$  为自然数,而且  $1 < s < k$ .显然,若将双环网络看作一个连通无向图,则图中的



任意节点  $A$  对应于 4 条边,其中两条为由  $A$  发出的边,  $i \rightarrow i+1 \pmod k$  称为节点  $A$  的第 0 条边,  $i \rightarrow i+s \pmod k$  称为节点  $A$  的第 1 条边.另外两条为指向  $A$  的边,  $i+k-1 \pmod k \rightarrow i$  称为节点  $A$  的第 2 条边,  $i+k-s \pmod k \rightarrow i$  称为节点  $A$  的第 3 条边.

## 1.2 双环Petersen图互联网络的拓扑结构

**定义 6(Petersen 图的编码规则<sup>[12]</sup>).** 在单个 Petersen 图中,每个节点按如图 2 所示的规则进行编码.其中,每个节点用符号  $a,b,0$  的不同组合构成的六元组来进行编码.这样编码的好处是,利用下文的定义 7 中规定的操作符  $\Theta$ ,我们可以由节点的编号方便地计算出任意两个节点之间的距离.任意两个节点之间距离的计算公式由定理 1 给出.

**定义 7.** 对 Petersen 图的编码中符号  $a,b,0$ ,定义操作符

$\Theta$  如下:  $a\Theta a=0, a\Theta 0=0, 0\Theta a=0, b\Theta b=0, b\Theta 0=0, 0\Theta b=0, a\Theta b=1, b\Theta a=1, 0\Theta 0=0$ .

**定理 1.** 对 Petersen 图中任意两个节点  $A_{p1}(a_1, a_2, a_3, a_4, a_5, a_6), A_{p2}(b_1, b_2, b_3, b_4, b_5, b_6), a_1, a_2, a_3, a_4, a_5, a_6, b_1, b_2, b_3, b_4, b_5, b_6 \in \{a, b, 0\}$ , 则节点  $A_{p1}, A_{p2}$  之间的距离  $Dist\_P(A_{p1}, A_{p2}) = \sum_{j=1}^6 (a_j \Theta b_j)$ .

证明:由图 2 可知,Petersen 图共有 15 条边,利用枚举法,由定义 6 和定义 7 可知结论成立.

**定义 8(DLCPG( $k$ )互联网络的构造).** 对于  $10 \times k$  个节点,我们按如下方法将双环的简单性和 Petersen 图的可连接性结合起来,构造互联网络 DLCPG( $k$ ):

(1) 首先,每 10 个节点按 Petersen 图互联,构成  $k$  个 Petersen 图.每个 Petersen 图称为一片;

(2)  $k$  个 Petersen 图按照如下方法连接成双环: $k$  个 Petersen 图按照  $0 \sim k-1$  进行编号,每个 Petersen 图中的节点按定义 6 进行编号,所有 Petersen 图中编号相同的节点按定义 5 中的方式构成双环,其中  $s$  取  $\lceil \sqrt{k} \rceil$ ;

(3) DLCPG( $k$ )的编码:DLCPG( $k$ )采用如下的编码方式:任意节点  $A$  的编码由两部分  $(A_r, A_p)$  决定,其中  $A_r$  为片的编号,  $0 \leq A_r \leq k-1$ ;  $A_p$  为片内各 Petersen 图节点的编号.

**定理 2.** 对于  $k$  维双环网络中任意两个节点  $A_{r1}, A_{r2}, A_{r1}, A_{r2} \in [0, k-1]$ , 则节点  $A_{r1}, A_{r2}$  之间的距离(其中以下的 div 为取商运算符,mod 为取余运算符)为

$$Dist\_L(A_{r1}, A_{r2}) = \begin{cases} |A_{r2} - A_{r1}| \bmod [\sqrt{k}] + |A_{r2} - A_{r1}| \bmod [\sqrt{k}], \\ \text{若 } |A_{r2} - A_{r1}| \leq [k/2] \text{ 且 } |A_{r2} - A_{r1}| \bmod [\sqrt{k}] \leq [\sqrt{k}/2]; \\ [\sqrt{k}] - |A_{r2} - A_{r1}| \bmod [\sqrt{k}] + 1 + |A_{r2} - A_{r1}| \bmod [\sqrt{k}], \\ \text{若 } |A_{r2} - A_{r1}| \leq [k/2] \text{ 且 } [\sqrt{k}/2] < |A_{r2} - A_{r1}| \bmod [\sqrt{k}] \leq [\sqrt{k}]; \\ (k - |A_{r2} - A_{r1}|) \bmod [\sqrt{k}] + (k - |A_{r2} - A_{r1}|) \bmod [\sqrt{k}], \\ \text{若 } |A_{r2} - A_{r1}| > [k/2] \text{ 且 } (k - |A_{r2} - A_{r1}|) \bmod [\sqrt{k}] \leq [\sqrt{k}/2]; \\ [\sqrt{k}] - (k - |A_{r2} - A_{r1}|) \bmod [\sqrt{k}] + 1 + (k - |A_{r2} - A_{r1}|) \bmod [\sqrt{k}], \\ \text{若 } |A_{r2} - A_{r1}| > [k/2] \text{ 且 } [\sqrt{k}/2] < (k - |A_{r2} - A_{r1}|) \bmod [\sqrt{k}] \leq [\sqrt{k}]. \end{cases} \quad (1)$$

证明:显然, $k$  维双环网络中任意两个节点  $A_{r1}, A_{r2}$  之间的距离可唯一分解为表达式(1)中的 4 种情形之一:

1) 若  $|A_{r2} - A_{r1}| \leq [k/2]$  且  $|A_{r2} - A_{r1}| \bmod [\sqrt{k}] \leq [\sqrt{k}/2]$ , 令  $m = |A_{r2} - A_{r1}| \bmod [\sqrt{k}], n = |A_{r2} - A_{r1}| \bmod [\sqrt{k}]$ , 则由  $|A_{r2} - A_{r1}| \leq [k/2] \Rightarrow A_{r1}$  经过自己及  $n-1$  个中间节点  $B_{r1}, \dots, B_{r(n-1)}$  的第 1 条边, 可到达节点  $B_{rn}$ .由定义 8 中的步骤(2)可知,  $|B_{rn} - A_{r1}| = n \sqrt{k} \Rightarrow |A_{r2} - A_{r1}| \bmod [\sqrt{k}] = |B_{rn} - A_{r1}| \bmod [\sqrt{k}]$ .再结合  $|A_{r2} - A_{r1}| \bmod [\sqrt{k}] \leq [\sqrt{k}/2] \Rightarrow |B_{rn} - A_{r2}| \bmod [\sqrt{k}] \leq [\sqrt{k}/2]$   $\Rightarrow$  节点  $B_{rn}$  与  $A_{r2}$  之间的距离为  $|B_{rn} - A_{r2}| \bmod [\sqrt{k}] = |A_{r2} - A_{r1}| \bmod [\sqrt{k}]$ .故综上所述,有

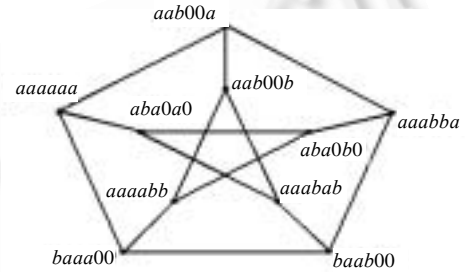


Fig.2 Coding rules of Petersen graph

图 2 Petersen 图的编码规则

$$Dist\_L(A_{r1}, A_{r2}) = |A_{r2} - A_{r1}| \bmod [\sqrt{k}] + |A_{r2} - A_{r1}| \div [\sqrt{k}].$$

2) 对于其他 3 种情形,仿照 1) 的证明过程,同理可证定理的结论成立.

**定理 3.** 对 DLCPG( $k$ ) 互连网络中任意两个节点  $A(A_{r1}, A_{p1}), B(A_{r2}, A_{p2}), A_{r1}, A_{r2} \in [0, k-1]$ , 节点  $A, B$  之间的距离为  $Dist(A, B) = Dist\_L(A_{r1}, A_{r2}) + Dist\_P(A_{p1}, A_{p2})$ .

证明:由定理 2 可知,节点  $A(A_{r1}, A_{p1})$  与节点  $C(A_{r2}, A_{p1})$  之间的距离为  $Dist\_L(A_{r1}, A_{r2})$ ,而节点  $C(A_{r2}, A_{p1})$  与  $B(A_{r2}, A_{p2})$  属于同一个片,因此由定理 1 可知,它们之间的距离为  $Dist\_P(A_{p1}, A_{p2})$ ,即节点  $A(A_{r1}, A_{p1}), B(A_{r2}, A_{p2})$  之间的距离为  $Dist(A, B) = Dist\_L(A_{r1}, A_{r2}) + Dist\_P(A_{p1}, A_{p2})$ .

### 1.3 DLCPG( $k$ )的性质分析

由上一节中 DLCPG( $k$ )的构造方法易知性质 1、性质 2 成立(限于篇幅,证明略).

**性质 1.** 假定网络的节点个数为  $10 \times k$ ,则 DLCPG( $k$ )是正规互连网络,且各节点的度为 7.

**性质 2.** 假定网络的节点个数为  $10 \times k$ ,则 DLCPG( $k$ )的网络直径为  $\lceil \sqrt{k} \rceil + 1$ ,其中  $\lceil \cdot \rceil$  为向上取整操作符.

假定互连网络的节点个数为  $10 \times k$ ,则 DLCPG( $k$ )与 RP( $k$ )及二维 Torus 比较,可得到表 1 的结果.

**Table 1** Comparative data of DLCPG( $k$ ), RP( $k$ ), 2-dimensional Torus and ring

表 1 DLCPG( $k$ )与 RP( $k$ ),二维 Torus 及环的对比数据

Characteristic	DLCPG( $k$ )	RP( $k$ )	2-Dimensional Torus	Ring
Regularity	Yes	Yes	Yes	Yes
Connective degree	7	5	4	2
Diameter	$\lceil \sqrt{k} \rceil + 1$	$[k/2] + 2$	$2 \times \lceil \sqrt{10k}/2 \rceil$	$5 \times k$

由表 1 中 DLCPG( $k$ )的特征易证以下性质 3、性质 4 成立(限于篇幅,证明略).

**性质 3.** 假定互连网络的节点数为  $10 \times k$ ,则 DLCPG( $k$ )的直径小于 RP( $k$ )的直径,且  $k$  越大,DLCPG( $k$ )的直径越接近 RP( $k$ )的直径的  $2/(\lceil \sqrt{k} \rceil + 1)$ .

**性质 4.** 假定互连网络的节点个数为  $10 \times k$ ,则 DLCPG( $k$ )的网络直径小于二维 Torus 的直径.特别地, $k$  越大,DLCPG( $k$ )的直径越接近二维 Torus 互连网络直径的  $2/\sqrt{10}$ .

下面分别计算 DLCPG( $k$ ),RP( $k$ )及二维 Torus 网络的最优分组距离.

易知 DLCPG( $k$ )最优分组的距离为(以下的 div 为取商运算符,mod 为取余运算符)

$$d(G_\lambda(DLCPG(k))) = \begin{cases} 1, & \text{若 } \lambda = 2 \\ 2 + (\lambda - 1) \div 10, & \text{若 } 3 < \lambda \leq 10(\lceil \sqrt{k} \rceil + 1) \\ 2 + \{(\lambda - 1) \div 10\} \bmod [\sqrt{k}] + (\lambda - 1) \div 10[\sqrt{k}], & \text{若 } \lambda > 10(\lceil \sqrt{k} \rceil + 1) \end{cases} \quad (2)$$

RP( $k$ )最优分组的距离为

$$d(G_\lambda(RP(k))) = \begin{cases} 1, & \text{若 } \lambda = 2 \\ 2 + (\lambda - 1) \div 10, & \text{若 } \lambda \geq 3 \end{cases} \quad (3)$$

二维 Torus 最优分组距离为

$$d(G_\lambda(Torus)) = 2 \times (\sqrt{\lambda} - 1) \quad (4)$$

由式(2)~式(4)易知下述性质 5、性质 6 成立.

**性质 5.** 假定互连网络的节点个数为  $10 \times k$ ,则 DLCPG( $k$ )互连网络的可分组性优于 RP( $k$ )互连网络的可分组性.特别地,当分组节点数  $\lambda \geq 10(\lceil \sqrt{k} \rceil + 1)$  时, $\lambda$  越大,DLCPG( $k$ )的最优分组距离越接近 RP( $k$ )最优分组距离的  $1/[\sqrt{k}]$ .

**性质 6.** 假定互连网络的节点个数为  $10 \times k$ ,则 DLCPG( $k$ )互连网络的可分组性优于二维 Torus 互连网络的可分组性.特别地,当分组节点数  $\lambda \geq 10(\lceil \sqrt{k} \rceil + 1)$  时, $\lambda$  越大,DLCPG( $k$ )的最优分组距离越小于二维 Torus 互连网络最优分组距离的  $\sqrt{10}/20$ .

## 2 路由算法与性能分析

### 2.1 DLCPG( $k$ )上的单播路由算法及其性能分析

DLCPG( $k$ )上的单播路由算法:

假设节点  $A(A_r, A_p)$  向节点  $B(B_r, B_p)$  发送数据.

(1) 若  $A, B$  在同一个 Petersen 图中, 如果它们直接相连, 则  $A$  直接向  $B$  发送数据; 否则,  $A$  先将数据发送到它与  $B$  的公共邻节点, 再由该公共邻节点将数据转发给  $B$ .

(2) 若  $A, B$  不在同一个 Petersen 图中, 设依据定理 2 求得的节点  $A, B$  所在的两个 Petersen 图之间的距离  $d = Dist\_L(A_r, B_r)$ . 令  $d = \sigma \times [\sqrt{k}] + \gamma$ , 其中  $0 < \gamma < [\sqrt{k}]$ .

1) 若  $(A_r + d) \bmod k = B_r \bmod k$ , 且  $\gamma \leq [\sqrt{k}/2]$ , 则  $A$  及其后  $\sigma$  个沿途节点均首先沿自己的第 1 条边将数据一直发送到第  $\sigma \times [\sqrt{k}]$  号 Petersen 图中的  $A_p$  节点; 然后, 该节点及其后  $\gamma$  个沿途节点均沿自己的第 0 条边将数据一直发送到  $B$  所在的  $B_r$  号 Petersen 图中的  $A_p$  节点, 再由该节点按步骤(1)将数据转发给  $B$ .

2) 若  $(A_r + d) \bmod k = B_r \bmod k$ , 且  $\gamma > [\sqrt{k}/2]$ , 则  $A$  及其后  $\sigma+1$  个沿途节点均先沿自己的第 1 条边将数据一直发送到第  $(\sigma+1) \times [\sqrt{k}]$  号 Petersen 图中的  $A_p$  节点; 然后该节点及其后  $[\sqrt{k}] - \gamma$  个沿途节点均沿自己的第 2 条边将数据一直发送到  $B$  所在的  $B_r$  号 Petersen 图中的  $A_p$  节点, 再由该节点按步骤(1)将数据转发给  $B$ .

3) 若  $(A_r + d) \bmod k > A_r \bmod k$ , 且  $\gamma \leq [\sqrt{k}/2]$ , 则  $A$  及其后  $\sigma$  个沿途节点均首先沿自己的第 3 条边将数据一直发送到第  $\sigma \times [\sqrt{k}]$  号 Petersen 图中的  $A_p$  节点; 然后该节点及其后  $\gamma$  个沿途节点均沿自己的第 2 条边将数据一直发送到  $B$  所在的  $B_r$  号 Petersen 图中的  $A_p$  节点, 再由该节点按步骤(1)将数据转发给  $B$ .

4) 若  $(A_r + d) \bmod k > B_r \bmod k$ , 且  $\gamma > [\sqrt{k}/2]$ , 则  $A$  及其后  $\sigma+1$  个沿途节点均首先沿自己的第 3 条边将数据一直发送到第  $(\sigma+1) \times [\sqrt{k}]$  号 Petersen 图中的  $A_p$  节点; 然后该节点及其后  $[\sqrt{k}] - \gamma$  个沿途节点均沿自己的第 0 条边将数据一直发送到  $B$  所在的  $B_r$  号 Petersen 图中的  $A_p$  节点, 再由该节点按步骤(1)将数据转发给  $B$ .

算法性能分析:

依据性质 2 可知, DLCPG( $k$ ) 的网络直径为  $\lceil \sqrt{k} \rceil + 1$ . 因此, 按最短路径路由算法, 在最坏情形下的 DLCPG( $k$ ) 中的单播路由总共需要  $\lceil \sqrt{k} \rceil + 1$  轮通信操作.

定义 9(算法的通信效率). 若在最坏的情形下, 算法将数据从源发送到目的节点总共需要  $t$  轮通信操作, 则称  $1/t$  为算法的通信效率.

显然, 算法能沿着越短的路径将数据从源发送到目的节点, 算法的通信效率将越高, 即算法能更有效、更快捷地将数据从源发送到目的节点.

依据定义 9, 由性质 3 的证明过程易知下述性质 7 成立.

性质 7. 假定互联网络的节点个数为  $10 \times k$ , 则 DLCPG( $k$ ) 的单播路由算法的通信效率接近 RP( $k$ ) 的单播路由算法通信效率的  $(\lceil \sqrt{k} \rceil + 1)/2$  倍.

由前面的描述可知, 在最坏情形下的 DLCPG( $k$ ), RP( $k$ ) 中的单播路由总共需要  $\lceil \sqrt{k} \rceil + 1, [\sqrt{k}/2] + 2$  轮通信操作. 为了具体对比 DLCPG( $k$ ) 的单播路由通信效率与 RP( $k$ ) 的单播路由通信效率的差异, 表 2 列出了针对不同节点数、在最坏情形下 DLCPG( $k$ ) 的单播路由与 RP( $k$ ) 的单播路由分别需要的通信操作次数.

**Table 2** Comparative data of communication rounds for unicast between DLCPG( $k$ ) and RP( $k$ )

**表 2** DLCPG( $k$ ) 与 RP( $k$ ) 上单播路由所需通信操作的对比数据

Number of nodes	Communication rounds of DLCPG( $k$ )	Communication rounds of RP( $k$ )
320	7	18
4 400	22	222
49 000	71	2 452
110 000	106	5502

## 2.2 DLCPG( $k$ )上的广播路由算法及其性能分析

DLCPG( $k$ )上的单播路由算法:对于任意节点  $A$ ,

(1)  $A$  在自己所在的 Petersen 图中进行广播;

(2) 然后, $A$  所在的 Petersen 图中各节点沿着自己的第 0,1,2,3 号边将信息同时扩散到自己所在双环的所有其他节点.

算法性能分析如下:

执行 DLCPG( $k$ )上的广播路由算法步骤(1)需要 2 轮通信操作,执行算法的步骤(2)需要  $\lceil \sqrt{k} \rceil - 1$  轮通信操作.因此,DLCPG( $k$ )中的广播路由总共需要  $\lceil \sqrt{k} \rceil + 1$  轮通信操作.

由性质 3 的证明过程易知下述性质 8 成立.

**性质 8.** 假定互联网络的节点个数为  $10 \times k$ ,则 DLCPG( $k$ )的广播路由算法的通信效率接近 RP( $k$ )广播路由算法通信效率的  $(\lceil \sqrt{k} \rceil + 1)/2$  倍.

为了具体对比 DLCPG( $k$ )的广播路由通信效率与 RP( $k$ )的广播路由通信效率的差异,表 3 列出了针对不同节点数、在最坏情形下 DLCPG( $k$ )的广播路由与 RP( $k$ )的广播路由分别需要的通信操作次数.

**Table 3** Comparative data of communication rounds for broadcasting between DLCPG( $k$ ) and RP( $k$ )

表 3 DLCPG( $k$ )与 RP( $k$ )上广播路由所需通信操作的对比数据

Number of nodes	Communication rounds of DLCPG( $k$ )	Communication rounds of RP( $k$ )
490	8	26
1 210	12	62
36 000	61	1 802
400 000	201	20 002

## 2.3 DLCPG( $k$ )上的容错路由算法及其性能分析

DLCPG( $k$ )上的容错路由算法:

**定义 10.** 对定义 6 中定义的 Petersen 图中各节点的编码,假定  $b > a > 0$ ,则对任意节点  $A$ ,其 3 个邻节点的编码可按大小进行排序.我们定义节点  $A$  到具有最小编码的邻节点的链路为节点  $A$  的第 4 条边,节点  $A$  到具有次小编码的邻节点的链路为节点  $A$  的第 5 条边,节点  $A$  到具有最大编码的邻节点的链路为节点  $A$  的第 6 条边.

由定义 8 及定义 5 可知,DLCPG( $k$ )互联网络中的任意节点  $A$  均有 7 条边,其代号分别为 0~6.节点  $A$  的第 0~6 条边对应的邻节点分别称为节点  $A$  的第 0~6 号邻节点,记为  $nei(A,0) \sim nei(A,6)$ .

**定义 11(安全通路矩阵).** 对于  $k$  维双环 Petersen 图互联网络 DLCPG( $k$ )中的节点  $A$ ,它的安全通路矩阵为一个  $(\lceil \sqrt{k} \rceil + 1) \times 7$  阶 0-1 矩阵,记为  $DLCPG\_SPM_A$ .其中, $DLCPG\_SPM_A[t][j]$  ( $1 \leq t \leq \lceil \sqrt{k} \rceil + 1, 0 \leq j \leq 6$ ) 的值按如下规则计算:

$$DLCPG\_SPM_A[1][j] = \begin{cases} 1, & \text{若 } A \text{ 的第 } j \text{ 条边畅通} \\ 0, & \text{否则} \end{cases};$$

$$DLCPG\_SPM_A[2][j] = \begin{cases} 1, & \text{若 } DLCPG\_SPM_A[1][j] + \sum_{i=0}^6 DLCPG\_SPM_{nei(A,j)}[1][i] = 8 \\ 0, & \text{否则} \end{cases}.$$

当  $2 < t \leq \lceil \sqrt{k} \rceil + 1$  时, $DLCPG\_SPM_A[t] = [b_6, b_5, b_4, a_3, a_2, a_1, a_0]$ .

其中:

$$a_j = \begin{cases} 1, & \text{若 } DLCPG\_SPM_A[1][j] + \sum_{i=0}^6 DLCPG\_SPM_{nei(A,j)}[t-1][i] = 8 \\ 0, & \text{否则} \end{cases},$$

$$b_j = \begin{cases} 1, & \text{若 } DLCPG\_SPM_A[1][j] + \sum_{i=0}^6 DLCPG\_SPM_{nei(A,j)}[t-1][i] = 8 \\ 1, & \text{若 } \sum_{i=0}^3 DLCPG\_SPM_A[1][i] + \sum_{i=0}^3 DLCPG\_SPM_{nei(A,i)}[t-1][j] = 8 \\ 0, & \text{否则} \end{cases}$$

下面证明按上述方法定义的  $DLCPG\_SPM_A$  具有如下良好性质:  $DLCPG\_SPM_A[t][j]=1 \Rightarrow$  节点  $A$  和与其距离为  $t$ , 但与  $A$  的第  $j$  个邻节点距离  $t-1$  的任意节点之间均具有  $t$  距离最优通路, 其中  $1 \leq t \leq \lceil \sqrt{k} \rceil + 1$ .

**引理 1.** 对于  $DLC PG(k)$  互联网络中的任意节点  $A$ , 与  $A$  距离为  $d+1$  ( $d>1$ ), 但与  $nei(A,j)$  ( $j \in [4,5,6]$ ) 距离为  $d$  的任意节点, 一定与某个  $nei(A,i)$  ( $i \in [0,1,2,3]$ ) 距离为  $d$ , 且与  $nei(A,i)$  的第  $j$  个邻节点距离为  $d-1$ .

证明: 设  $B(B_r, B_p)$  为任意与  $A(A_s, A_p)$  距离为  $d+1$  的节点  $\Rightarrow Dist\_L(A_r, B_r) + Dist\_P(A_p, B_p) = d+1$ . 不妨设  $B(B_r, B_p)$  与  $nei(A,4)(A_r, C_p)$  的距离为  $d \Rightarrow Dist\_L(A_r, B_r) + Dist\_P(B_p, C_p) = d \Rightarrow Dist\_P(A_p, B_p) - Dist\_P(B_p, C_p) = 1$ . 又由于 Petersen 图的直径为 2, 故可知  $Dist\_P(B_p, C_p) = 0, Dist\_P(A_p, B_p) = 1$  或  $Dist\_P(B_p, C_p) = 1, Dist\_P(A_p, B_p) = 2$  成立.

1) 若  $Dist\_P(B_p, C_p) = 0, Dist\_P(A_p, B_p) = 1 \Rightarrow Dist\_L(A_r, B_r) = d$ . 设  $nei(A,0), nei(A,1), nei(A,2), nei(A,3)$  分别为  $(A_s, A_p), (A_t, A_p), (A_u, A_p), (A_v, A_p) \Rightarrow Dist\_L(A_s, B_r), Dist\_L(A_t, B_r), Dist\_L(A_u, B_r), Dist\_L(A_v, B_r)$  中必有一个为  $d-1$  (因为  $nei(A,0), nei(A,1), nei(A,2), nei(A,3)$  为  $A$  在双环内的所有邻节点). 不妨设  $Dist\_L(A_s, B_r) = d-1 \Rightarrow B(B_r, B_p)$  与  $nei(A,0)(A_s, A_p)$  之间的距离为  $Dist\_L(A_s, B_r) + Dist\_P(A_p, B_p) = d-1+1=d$ . 设  $nei(A,0)(A_s, A_p)$  的第 4 个邻节点为  $G$ , 则显然有  $G=G(A_s, C_p)$ . 而  $B(B_r, B_p)$  与  $G(A_s, C_p)$  之间的距离  $Dist\_L(A_s, B_r) + Dist\_P(C_p, B_p) = d-1+0=d-1$ , 即  $B$  与  $nei(A,0)$  之间距离为  $d$  且与  $nei(A,0)$  的第 4 个邻节点距离为  $d-1$ .

2) 若  $Dist\_P(B_p, C_p) = 1, Dist\_P(A_p, B_p) = 2$ , 仿照步骤 1) 的过程, 同理可证  $B$  与  $nei(A,0)$  的距离为  $d$  且与  $nei(A,0)$  的第 4 个邻节点距离为  $d-1$ .

**定理 4.**  $DLCPG\_SPM_A[t][j]=1 \Rightarrow$  节点  $A$  和与其距离为  $t$ , 但与  $A$  的第  $j$  个邻节点距离为  $t-1$  的任意节点之间均具有  $t$  距离最优通路, 其中  $1 \leq t \leq \lceil \sqrt{k} \rceil + 1$ .

证明: 当  $t \leq 2$  时, 依据定义 11 中  $DLCPG\_SPM_A[t][j]=1$  的定义可知,  $A$  的第  $j$  个邻节点与到自己距离  $t-1$  的节点之间存在  $t-1$  距离最优通路, 且  $A$  与其第  $j$  个邻节点之间的链路(或边)畅通. 因此,  $A$  和与其距离为  $t$ , 但与  $A$  的第  $j$  个邻节点距离为  $t-1$  的任意节点之间均具有  $t$  距离最优通路. 而当  $t > 2$  时, 依据定义 11 中  $DLCPG\_SPM_A[t][j]=1$  的定义及引理 1 可知, 节点  $A$  和与其距离为  $t$ , 但与  $A$  的第  $j$  个邻节点距离为  $t-1$  的任意节点之间均具有  $t$  距离最优通路.

安全通路矩阵记录了系统中的最优通路信息, 下一步, 我们建立起一个基于  $DLC PG\_SPM$  的容错路由算法, 并利用它来帮助我们将信息尽量沿最优通路传递. 算法具体描述如下: 对于任意节点  $A$ ,

```

Algorithm DLCPG_SPM_Route(){
    IF (cur==dest) Send to node and Return(SUCCESS);
    FOR (link=0;link<7;link++){
        //找最优通路
        IF (DLCPG_SPMcur[Dist(cur,dest)][link]==1 && DLCPG_SPMcur[1][link]==1){
            Send message with this link and Return (SUCCESS);}
        IF (DLCPG_SPMcur[Dist(cur,dest)][link]==1 && DLCPG_SPMcur[1][link]==0 && Dist(A,dest)>2
            && link>3){FOR (j=0;j<4;j++){
                IF (DCP_SPMcur[1][j]==1 && Dist(cur,dest)==Dist(nei(cur,j),dest)+1){
                    Send message with this j-link and Return (SUCCESS);}}}
            FOR (link=0;link<7;link++){
                //找次最优通路
                IF (DLCPG_SPMcur[Dist(cur,dest)+1][link]==1 && DLCPG_SPMcur[1][link]==1){
                    Send message with this link and Return (SUCCESS);}
                IF (DLCPG_SPMcur[Dist(cur,dest)+1][link]==1 && DLCPG_SPMcur[1][link]==0
                    && link<3){FOR (j=0;j<4;j++){
                        IF (DCP_SPMcur[1][j]==1 && Dist(cur,dest)==Dist(nei(cur,j),dest)+1){
                            Send message with this j-link and Return (SUCCESS);}}}
            }
        }
    }
}
```

```

&&Dist(A,dest)>2 &&link>3{
FOR (j=0;j<3;j++){
    IF (DCLCPG_SPM[1][j]==1 &&Dist(cur,dest)==Dist(nei(cur,j),dest)+2){
        Send message with this j-link and Return (SUCCESS);}}}
Return (FALSE);

```

由以上描述易知算法具有如下特性:(1)能在常数时间内判定出源节点和目标节点之间是否存在最优通路;(2)若它们之间存在最优通路,则会把消息传递到合适的邻节点,使消息继续沿最优通路(长度为 $Dist(sour,dest)$ )传递;(3)若它们之间不存在最优通路,则会把消息传递到合适的邻节点,使其沿次最优通路(长度为 $Dist(sour,dest)+1$ )传递.

算法性能分析如下:

为了更具体地分析上述容错路由算法 DCLCPG\_SPM 的容错性能,我们模拟了 8 维和 10 维 DCLCPG( $k$ )网络中存在链路故障的情况下,DCLCPG\_SPM 沿最优通路传递消息的能力.在模拟过程中,我们依据定义 8 中的描述构造出 DCLCPG 网络的拓扑图,用 1 表示相邻节点之间的链路畅通,用 0 表示链路故障.对于任意给定的链路故障数,我们随机选择 100 种故障分布模式,并在任意源、目的节点之间进行一次消息传递.把所有在连通的节点间传递的消息作为 100%,统计用 DCLCPG\_SPM 沿最优通路传递的消息所占的比例.

在表 4 和表 5 中,OP Exist 表示源、目的节点之间实际存在最优通路的消息的比例.OP in DCLCPG\_SPM 表示用 DCLCPG\_SPM 方法可以沿最优通路传递消息的比例.因此,OP in DCLCPG\_SPM 反映了用 DCLCPG\_SPM 方法可以沿最优通路传递消息的能力.从表 4 和表 5 的实验数据可知,DCLCPG\_SPM 算法具有良好的容错性能.

**Table 4** Simulation results of 8-Dimensional DCLCPG( $k$ ) with fault links

**表 4** DCLCPG\_SPM 链路故障的情况下模拟结果(8 维)

Number of fault links	OP in DCLCPG_SPM	OP exist
10	95.480 9	98.214 5
15	93.628 1	97.321 9
20	90.512 6	96.428 6
25	88.634 5	95.535 7
30	85.334 8	94.660 9

**Table 5** Simulation results of 10-Dimensional DCLCPG( $k$ ) with fault links

**表 5** DCLCPG\_SPM 链路故障的情况下模拟结果(10 维)

Number of fault links	OP in DCLCPG_SPM	OP exist
15	93.987 4	97.857 4
30	88.741 2	95.716 5
40	84.876 9	94.285 9
50	81.641 1	92.856 7
60	77.954 7	91.429 6

### 3 结语

我们基于双环的结构提出了一种新的 Petersen 图的扩展方法,并在该扩展方法的基础上构造了一个正规双环 Petersen 图互联网络 DCLCPG( $k$ ),证明了该互联网络不但具有较好的可扩展性和连接度,而且具有直径小、拓扑结构简单等特性.另外,对于  $10 \times k$  个节点组成的互联网络,DCLCPG( $k$ )具有比 RP( $k$ )互联网络及二维 Torus 互联网络更小的直径及更优越的可分组性.最后,我们分别设计了 DCLCPG( $k$ )上的单播、广播及容错路由算法,证明了其单播和广播路由算法通信效率均分别较 RP( $k$ )上的单播和广播路由算法有了明显的提高.仿真实验表明,新容错播路由算法具有良好的容错性能,因此 DCLCPG( $k$ )是一种具有良好性质的新型互联网络拓扑结构.

### References:

- [1] Wang L, Lin YP. Researches on topology and algorithms of hypercube & ring connected Petersen graph interconnection network. Chinese Journal of Computers, 2005,28(3):409~413 (in Chinese with English abstract).

- [2] Yeh CH, Behrooz P. Routing and embeddings in cyclic Petersen network: An efficient extension of the Petersen graph. In: Higaki H, Page TW, eds. Proc. of the Int'l Conf. on Parallel Processing. Fukushima: IEEE Computer Society, 1999. 258–265.
- [3] Ohring S, Das SK. Folded Petersen cube networks: New competitors for the hypercubes. IEEE Trans. on Parallel and Distributed Systems, 1996, 7(2):151–168.
- [4] Saxena PC, Gupta S, Rai J, A delay optimal coterie on the k-dimensional folded Petersen graph. Journal of Parallel Distributed Computing, 2003, 63(11):1026–1035.
- [5] Das SK, Banerjee AK. Hyper Petersen network: Yet another hypercube-like topology. In: Siegel HJ, ed. Proc. of the 4th Symp. on the Frontiers of Massively Parallel Computation. Virginia: IEEE Computer Society, 1992. 270–277.
- [6] Liu FA, Liu ZY, Qiao XZ. A practical interconnection network RP( $k$ ) and its routing algorithms. Science in China (Series F), 2001, 44(6):461–473.
- [7] Liu FA, Liu ZY, Qiao XZ. A practical interconnection network RP( $k$ ) and its routing algorithms. Science in China (Series E), 2002, 32(3):380–385 (in Chinese with English abstract).
- [8] Liu FA, Liu ZY, Qiao XZ. A wavelength assignment algorithm of hypercube communication on optical RP( $k$ ) networks. Journal of Software, 2003, 14(3):575–581 (in Chinese with English abstract). <http://www.jos.org.cn/1000-9825/14/575.htm>
- [9] Liu FA, Liu ZY, Qiao XZ. A hierarchical network HRN and its routing algorithms. Chinese Journal of Computers, 2002, 25(12): 1397–1404 (in Chinese with English abstract).
- [10] Xu JM. The infinite families without tight or nearly-tight optimal double loop networks. Chinese Science Bulletin, 1999, 44(5): 486–490 (in Chinese with English abstract).
- [11] Chen XB. An optimal routing algorithms for double loop networks with restricted steps. Chinese Journal of Computers, 2004, 27(5): 596–603 (in Chinese with English abstract).
- [12] Elzinga RJ, Gregory DA, Vender Meulen KN. Addressing the Petersen graph. Discrete Mathematics, 2004, 286(3):241–244.

#### 附中文参考文献:

- [1] 王雷,林亚平.基于超立方体环连接的 Petersen 图互联网络及其路由算法研究.计算机学报,2005,28(3):409–413.
- [7] 刘方爱,刘志勇,乔香珍.一种实用的互联网络拓扑结构 RP( $k$ )及路由算法.中国科学(E 辑),2002,32(3):380–385.
- [8] 刘方爱,刘志勇,乔香珍.光 RP( $k$ )网络上 Hypercube 通信模式的波长指派算法.软件学报,2003,14(3):575–581. <http://www.jos.org.cn/1000-9825/14/575.htm>
- [9] 刘方爱,刘志勇,乔香珍.一类层次环网络的构造及路由算法.计算机学报,2002,25(12):1397–1404.
- [10] 徐俊明.不含紧优和几乎紧优双环网络无限簇.科学通报,1999,44(5):486–490.
- [11] 陈协彬.步长有限制的双环网络的最优路由算法.计算机学报,2004,27(5):596–603.



王雷(1973 - ),男,湖南长沙人,博士,副教授,主要研究领域为计算机网络,生物计算,机器学习.



林亚平(1955—),男,教授,博士生导师,主要研究领域为计算机网络,机器学习.



夏巍(1963 - ),男,博士生,主要研究领域为计算机网络.